

岐阜大学工業短期大学部 工員 野々垣一正

1. まえがき 土の不足処理を含めた基礎工法に際して、土の性質を正しく把握するには必要であることはいうまでもない。土は水分を含む土粒子の集合体であり、土粒子の性質や含水量によって性質等が著しく変化する事が知られている。特に土粒子のうち粘土分の量や性質が著しい影響を与えており、この粘土粒子と水との相互作用が土の性質を決定づけていけると考えられる。

一般に、自然土の性質は土の構成に固有な性質(1次の性質)と環境条件によって与えられる性質(間接比較、土の構造等)の双方によつて規定されている。土の性質とこれを支配する要因との関係を明らかにする目的で、ここでは、まず土の性質等の1次の性質が土の物理的性質に対する影響を知るために、種々の粘土鉱物と非粘土粒子を加えた人工的配合粘土を用いて一連の実験を行つた。

ここでは、その一端として、土のコンシステンシーと粒度組成(粘土分の含有量)との間の関係について明らかにされた実験結果を報告する。

2. 実験試料・鉱物組成分析及び実験方法。実験試料は比較的純粋と思われる市販されてる試料を用いた。

(1) 粘性土(粘土鉱物種)とこれ3種類

- A) ベントナイト $\text{Ca}_{0.7} \text{Al}_{1.5} \text{Si}_3 \text{O}_10 \cdot n \text{H}_2\text{O}$ 国華化學鉱業 山形左沢産
- B) ベントナイト $\text{Ca}_{0.7} \text{Al}_{1.5} \text{Si}_3 \text{O}_10 \cdot n \text{H}_2\text{O}$ 豊順洋行 群馬県碓氷郡産
- C) ベントナイト $\text{Ca}_{0.7} \text{Al}_{1.5} \text{Si}_3 \text{O}_10 \cdot n \text{H}_2\text{O}$ 豊順洋行 群馬県碓氷郡産

(2) 砂質土(非粘土粒子)として

- D) 石英粉 さくら石英 魏中鉱業 富知県藤岡鉱山産

上記4試料の物性はTable 1, Fig. 1に示した。4試料の構成鉱物を調べるために、X線回折、示差熱分析を行つた結果をFig. 2に示した。X線回折の実験共試体試料は風乾のままで、すりつぶし粉末を行つた。3種ベントナイトの構成粘土鉱物はスコット型で主要成分は粘土鉱物とし、モンモリロナイトを含み、非粘土鉱物としてクリストバライト、長石なども含んでる。モンモリロナイトの(001)面間隔は約12.5 \AA を示し、一層しか層間水が含まれてないNa素モニロナイトであり、又、一部にモンモリロナイト系の加水状態を異にするものが存在する。060面間隔は約1.50 \AA でZ-8面体型である。クリストバライトが多く含まれるのは薄高印、妙義印であり、ケイゲルには石英と微量の長石が含まれている。石英粉は石英を主成分とし微量の長石を含んでいる。(2X)X4(X6)

Table 1

	Kunigel 300 mesh	Hodogai 300 mesh	Miyagi 200 mesh	Quartz powder
Gs	2847	2895	2635	2.673
Per cent finer				
2000	100	100	100	100
420	92	92	92	92
74	100	100	100	100
Sand	0	0	8.0	49.5
Silt	4.0	1.25	34.0	50.0
Clay	96.0	87.5	58.0	9.5
Finer than				
2 μ	74.5	71.0	48.0	7.0
Trans. sand-clay	Clay	Clay	Clay	Quartz sand-clay
Atterberg limit				
W _L	596.0	4250	213.5	
W _P	39.4	42.9	35.1	
I _P	556.6	3821	1784	
I _f	84.0	475	36.2	

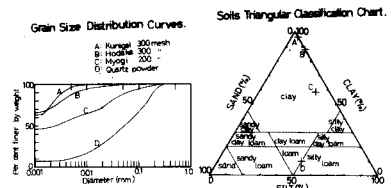


Fig. 1

Charts for the X-Ray Analyses

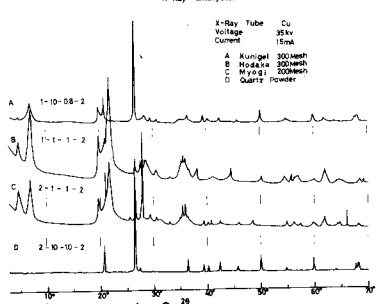


Fig. 2

示差熱分析では、モンモリロナイトの吸熱ピークは全体的に高温側に生じる。ケイゲルは湿度が高いため、焼却炉、妙義炉は共に湿度が低いため測定した。これらの中には、いずれも構造破壊による吸熱ピークが生じたのち一度基線に復したのちに吸熱ピークが生ずるU型あるいはChoto型ペントナイトである。(2)32(16)

コンシスティンシー限界値は試料調整、測定法等によること影響を受けることはいうまでもないし、測定者による個人差もまた免れないのである。従って実験における調整・測定方法等を安定した条件の下で行なうよう努力した。

配合試料の調整。4試料の炉乾燥重量に基く重量比でTable 2に示すように配合した。ここに示す配合比P₀はペントナイトをA、石英粉をBとした。

$$P_0 = \frac{A \text{ の炉乾燥重量}}{A \text{ の炉乾燥重量} + B \text{ の炉乾燥重量}} \times 100 \text{ で表される。}$$

配合した試料はビニール袋に入れ、かくはん混和したのち密封して保存した。実験を行なう順に袋より必要量とり出し、一定水量を試料に均等にいきわたるよう注水し、一定時間よく練りませたのち湿布をかぶせておがせた。おがせ時間はWinslow and Gates⁽⁹⁾の実験結果より24時間が望ましいと考えられたが、本実験では12時間も標準とした。

測定に当り器具はJIS規格に規定された方法に従った。

3. 実験結果

1) 液性限界W_LとP₀との関係。Fig. 4 各配合土のW_LはそれぞれのペントナイトのW_Lに応じ、また配合量に比例して直線的に変化する。

若干60%を境として直線の勾配が異なるようである。

2) 塑性限界W_PとP₀との関係。Fig. 5 各配合土とともに直線的な変化を示すが、Sample IとIIはこれで40~30%付近で折れまわり、Sample IIIは折れまわりは認められない。Sample IのW_PはW_LとP₀の関係とは逆にSample II, IIIよりも位相を示すことが注目される。また、Sample I, IIはおおむねP₀が30~40%以下では、P₀の減少と共にW_P値が逆に増大するこことも注目される。

W_L-P₀, W_P-P₀が示す直線関係は材料に用いたペントナイトの限界値の配合量から求められ3比例係数よりも一般に低い値を示してある。

3) 塑性指数I_PとP₀との関係。Fig. 6 各配合土のW_LとW_Pより求めたI_PとP₀の関係は単純な直線関係を示すとはいいきれないが、W_L値の変化量にくらべ、W_P値の変化量がゆるやかであるため、ほとんどのW_L値に左右され、必ず直線的な関係を得られる。ここで

Sample Iはケイゲル+石英粉、Sample IIは焼却炉+焼却炉+石英粉、Sample IIIは妙義炉+妙義炉+石英粉である。

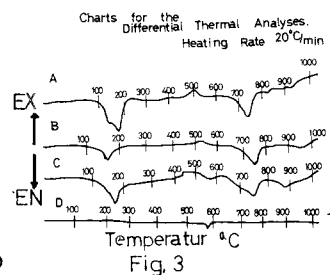


Fig. 3

Table 2

Sample I	Sample II	Sample III
kunigel ku+qp	hodaka ho+qp	myogi myo+qp
100	100	100
95	95	95
90	90	90
85	85	85
80	80	80
75	75	75
70	70	70
60	60	60
50	50	50
40	40	40
30	30	30
20	20	20
10	10	10
0	0	0

Liquid Limit vs Mixt proportion

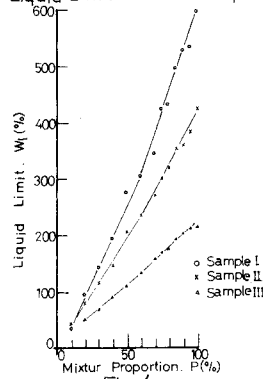


Fig. 4

Plasticity Index vs Mixt proportion

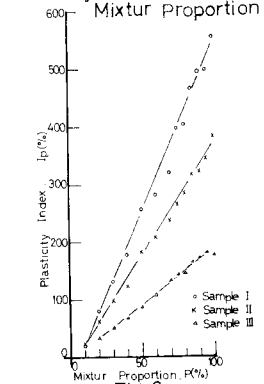


Fig. 5

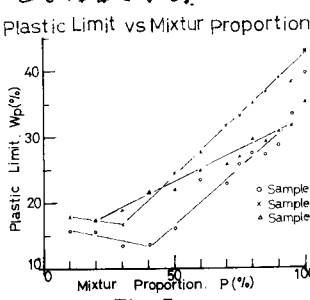


Fig. 6

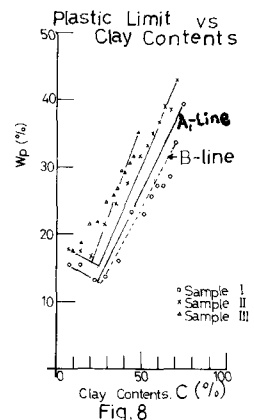
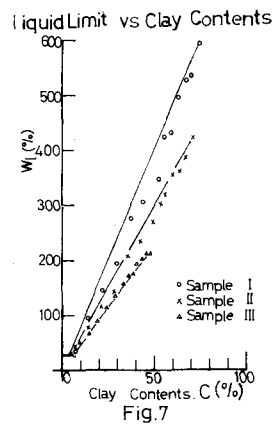
4) WLと粘土含有量 C の関係について、Fig. 7 同一組成の粘土を含む粘性土のアッターベルト限界はその粘土含有量に比例して変化する=とがSeedとWoodward(7)によると確かめられてる。SeedとWoodwardは粘土粒子の半径を WL と W_{LL} とすれば、その粘土粒子の含有量が C % で土の WL は

$$WL = \frac{C}{100} \cdot W_{LL}$$
 で示すとした。粘土粒子が多量に含まれてある場合は、非粘土質粗粒子が粘土粒子からなる Matrix 中に浮かんだ状態となり、限界値は同一粘土種では粘土量の 4% によつて決定されることを示してゐる。しかし、粘土粒子が少ない場合には、粗粒子どうしひく合あつてのり限界値は粘土含有量の 4% によつて直接決定されないと考えられる。Seed さんは非粘土質粗粒子が少くつまつたときの間隙率 e_L と食水した粘土粒子がしめき容積が一致する時の粘土粒子の量(乾燥重量) X は次式で与えられる。

$X = 100 \cdot \frac{1}{G_{sg} \left(\frac{W_{CLL}}{G_{sc}} + \frac{W_{CLL}}{100} \right)}$. $\therefore G_{sc}$ は粘土の真比重, G_{sg} は非粘土質粗粒子の真比重である。この時の配合土中の粘土含有量を限界粘土含有量 c_{fv} とすれば, $c_{fv} = X / (Y + X) \cdot 100 (\%)$ で与えられる。 $\therefore Y$ は非粘土質粗粒子の乾燥重量。遂に, z , w_L と c の直線関係は $c \geq c_{fv}$ の場合にたりた>
 >とになる。本実験に用いた試料につれて, c_{fv} を求めると,
 Sample I: $W_{CLL} = 800$, $c_{fv} = 3.46$, Sample II: $W_{CLL} = 598.6$, $c_{fv} = 4.50$, Sample III:
 $W_{CLL} = 444.8$, $c_{fv} = 5.84$ となり Fig. 7 ではいずれも直線関係となりた>と
 審定される。

5) WpとCの関係は図-11乙、Fig-8. WpとCの関係と異なる点はSample IとIIは逆の値を示し、Sample Iは粒子間の相互作用の結果、ベントナイトを含むのが示すWp値の比例値よりも他の値が得られる。従って単純比例を示すA線線上に近く、又ホドリも含む比例関係を示すB線上に近く値が分布してくる。WpとCの関係と同様、WpとCの関係をGv値の考え方を導入することができる。粘土粒子のみが示すWpをW_{pL}とすれば、Sample IでW_{pL}=52.9でcfvは25.60, Sample IIでW_{pL}=60.4でcfvは23.46, Sample IIIでW_{pL}=73.1でcfvは21.22となる。cfvは約20~30%の範囲にある。Sample I, IIの場合にはこのcfv値は相当する点でWpとCの直線は折れますが、Cがcfv値以下になると、Wpは非粘土質粗粒子の相互作用の影響によつて逆に増加してくる。

6). I_p と W_L の関係につれて Fig. 9. Casagrande の塑性圧上での粘土含有量の変化すると圧上の位置が C_1 の $\pm 3\%$ の変化不確かさを示す±2%, $W_p - C_0$ の結果から W_{CPL} は $52.4 \sim 73.1$ の範囲にあり、また、 $W_p = 71.2$ の C_f は $25.4 \sim 21.22$ の範囲に $\pm 3\%$ ながら、これら平均値として $W_{CPL} \approx 62$, $C_f \approx 24$ を採用して理論的に塑性圧上での C の変化に対する位置変化を図示すると、各試料につれて直線(Fig. 9 の中の A, B, C, a 各線)は $I_p = W_L - 15$ の直線と交差



Plasticity Chart (Ip vs Wl)

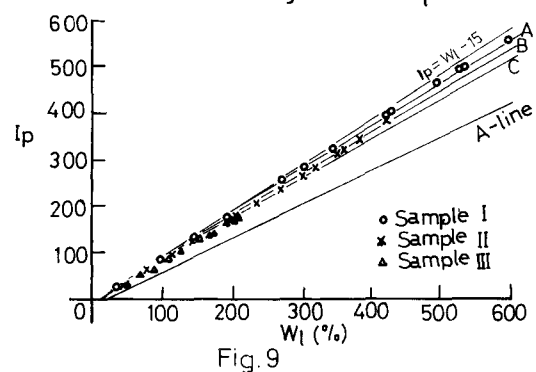


Fig. 9

下る点で折れる線で示される。粘土含有量が増すと折線に沿って右上へ移動する。各折点の位置は20~30%の粘土含有量付近にある。各Sampleについてえらいた実験値はこの理論式から求められた直線上に点がのつてある。ここでAは $\gamma = \text{ゲル}/\text{ゲル+石英粉}$ 、Bは $\gamma = \text{高嶺土}/\text{高嶺土+石英粉}$ 、Cは $\gamma = \text{蒙脱土}/\text{蒙脱土+石英粉}$ である。

7) I_p と C の関係について Fig. 10.

粘土質の特性を示す方法として重要なのが Skempton⁽⁸⁾ の定義した粘土の活性である。これを Fig. 10 に示すところ Sample I の場合は $A_c = 7$ 前後、Sample II は $A_c = 5$ 前後、Sample III は $A_c = 4$ 前後の値を示し、Skempton の分類に従うと Group 5a Activated ものに属する。しかしよく注意してみると、各 Sample の直線は W_p のときの $C_f v$ 値に相当する 30% 付近で交差していることが注目される。

4. むすび

W_L 値は粘土含有量の変化に応じて、低粘土含有量までほぼ直線関係が存在する。しかし W_p については Sample I, II はみられるように $C_f v$ が 25% 前後で直線が交差する。この折点の意味するものとして、土のコンシステンシー特に W_p などではこれは粘土限界含有量 $C_f v$ が重要な意義を持つことなどが指摘されよう。

又、 W_p 値はいずれも粘土粒子とのものの示す値の配合分に応じた比例値より低く値を示すのは、異種粒子の配合による減殺効果に由来するものであると考えられる。

終りに、この研究にあたり御指導いただいた岐阜大学工学部土木科・宇野尚雄助教授、名城大学理工学部地質教室・桑原徹助教授、日本道路公团・藤井俊介氏に深く謝意を表するものである。

参考文献

1. 土質工学会 (1965). 土質試験法.
2. 須藤俊男 (1964). 粘土鉱物 岩波全書.
3. 日本粘土学会 (1967). 粘土ハンドブック 技報堂.
4. 粘土研究会 (1963). 粘土科学の進歩(4). 技報堂.
5. 松本謙三 (1962). 土の物理的試験値の個人差について(総報). 土基礎 51, 11~15.
6. Grim, R.E (1968). Clay Mineralogy McGraw-Hill.
7. Seed, H.B. and Woodward, R.J. (1964). Fundamental Aspects of the Atterberg Limits. Proc. Amer. Soc. Civil Eng., (SMG) 75~105
8. Skempton, A.W (1953). The Colloidal "Activity" of clays. Pro. 3rd Int. Conf. Soil Mech and Found. Eng. 1, 57~61
9. Winslow, J.D and Gates, G.R. Effect of Soil Rehydration on Atterberg Limit. Material Research. and Standards, ASTM, Philadelphia, Pa. Vol. 3, March, 1963, 205~210.

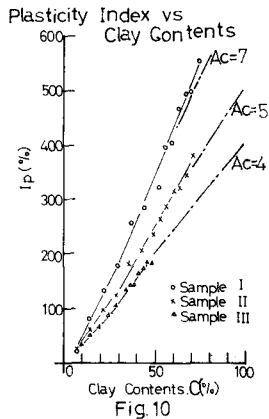


Fig. 10